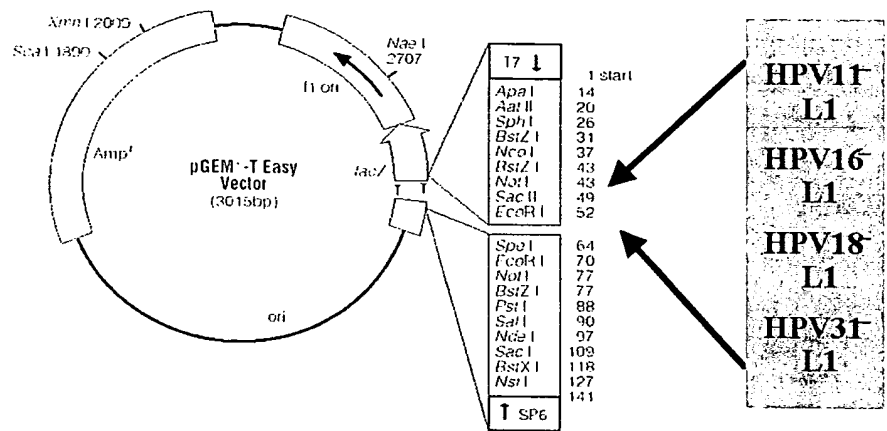


1/12

Fig. 1

(A)



(B)

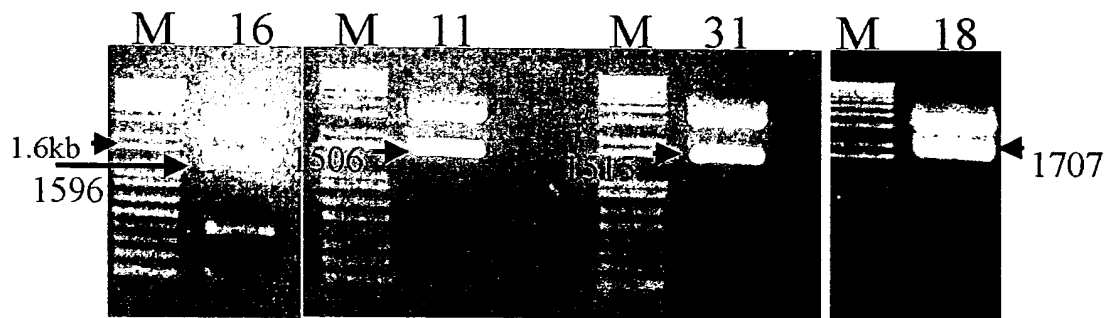
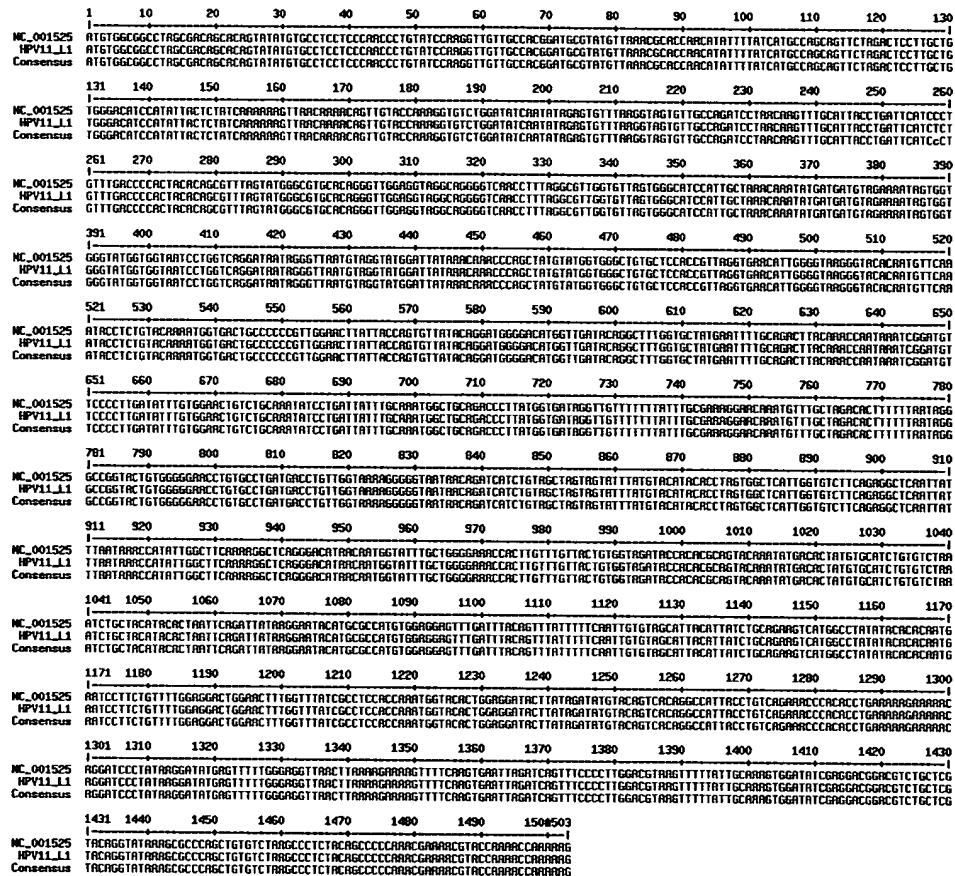


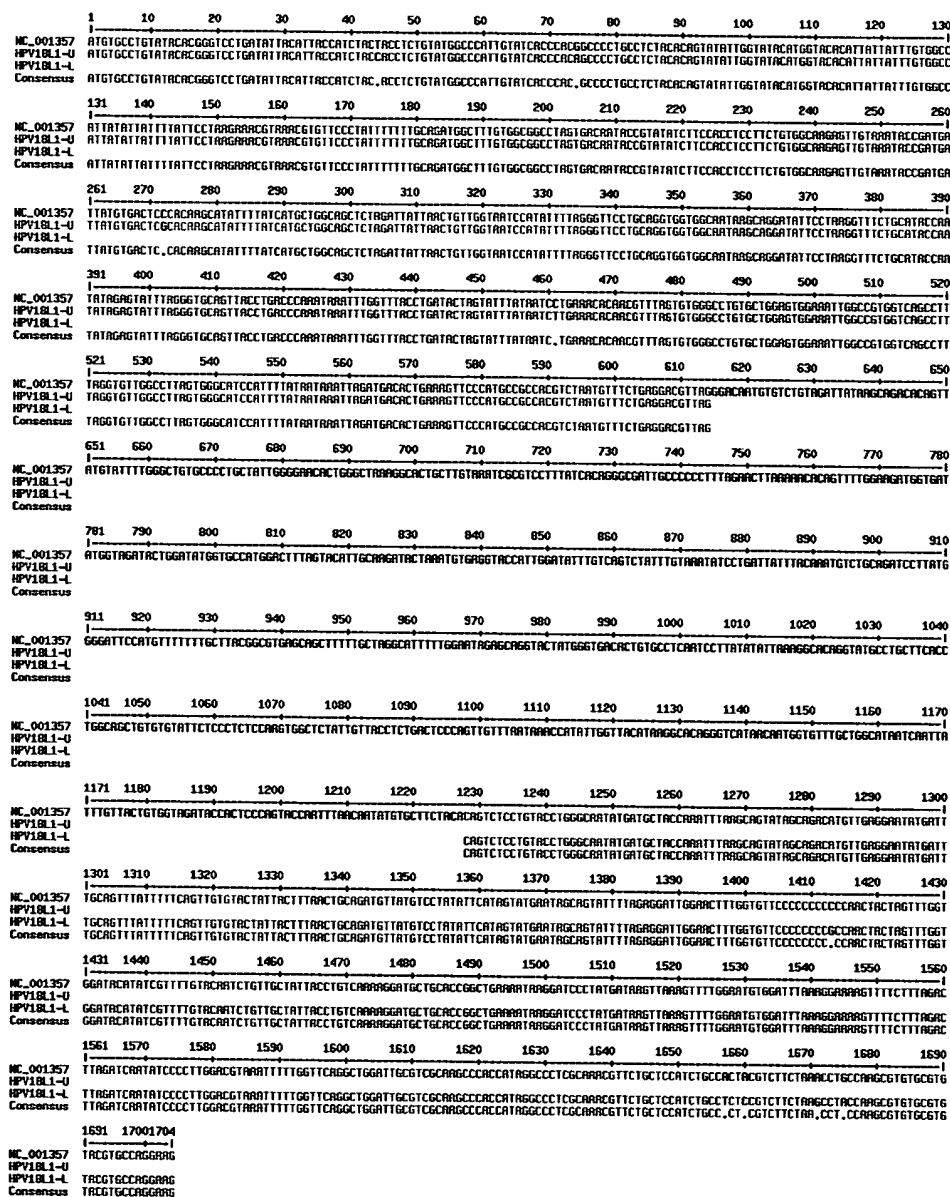
Fig. 2

	1	10	20	30	40	50	60	70	80	90	100	110	120	130
RF-002678 HPV16	ATGAGGATGAC	TTTATTTAT	CTACCTAC	TGTTAT	TCTATG	TCTATG	TCTATG	TCTATG	TCTATG	TCTATG	TCTATG	TCTATG	TCTATG	TCTATG
Consensus	ATGAGGATGAC	TTTATTTAT	CTACCTAC	TGTTAT	TCTATG	TCTATG	TCTATG	TCTATG	TCTATG	TCTATG	TCTATG	TCTATG	TCTATG	TCTATG
RF-002678 HPV16	131	140	150	160	170	180	190	200	210	220	230	240	250	260
Consensus	TATCTAAGG	TTTATGAC	CGGATGAT	TATG	TGAC	GCAC	ACAC	TATAT	TATCTAC	GCAC	ACAC	TATAT	TATCTAC	GCAC
RF-002678 HPV16	261	270	280	290	300	310	320	330	340	350	360	370	380	390
Consensus	AGTCTCTA	AGGATGAT	CGGATGAT	TATG	TGAC	GCAC	ACAC	TATAT	TATCTAC	GCAC	ACAC	TATAT	TATCTAC	GCAC
RF-002678 HPV16	391	400	410	420	430	440	450	460	470	480	490	500	510	520
Consensus	GTGAGGAT	AGGATGAT	CGGATGAT	TATG	TGAC	GCAC	ACAC	TATAT	TATCTAC	GCAC	ACAC	TATAT	TATCTAC	GCAC
RF-002678 HPV16	521	530	540	550	560	570	580	590	600	610	620	630	640	650
Consensus	CTATGATG	TACAC	ACAC	TATAT	TATCTAC	GCAC	ACAC	TATAT	TATCTAC	GCAC	ACAC	TATAT	TATCTAC	GCAC
RF-002678 HPV16	651	660	670	680	690	700	710	720	730	740	750	760	770	780
Consensus	ATGAGGAT	AGGATGAT	CGGATGAT	TATG	TGAC	GCAC	ACAC	TATAT	TATCTAC	GCAC	ACAC	TATAT	TATCTAC	GCAC
RF-002678 HPV16	781	790	800	810	820	830	840	850	860	870	880	890	900	910
Consensus	ATGAGGAT	AGGATGAT	CGGATGAT	TATG	TGAC	GCAC	ACAC	TATAT	TATCTAC	GCAC	ACAC	TATAT	TATCTAC	GCAC
RF-002678 HPV16	911	920	930	940	950	960	970	980	990	1000	1010	1020	1030	1040
Consensus	ATGAGGAT	AGGATGAT	CGGATGAT	TATG	TGAC	GCAC	ACAC	TATAT	TATCTAC	GCAC	ACAC	TATAT	TATCTAC	GCAC
RF-002678 HPV16	1041	1050	1060	1070	1080	1090	1100	1110	1120	1130	1140	1150	1160	1170
Consensus	TGACGAT	TTTGGG	TACAC	TATG	TGAC	GCAC	ACAC	TATAT	TATCTAC	GCAC	ACAC	TATAT	TATCTAC	GCAC
RF-002678 HPV16	1171	1180	1190	1200	1210	1220	1230	1240	1250	1260	1270	1280	1290	1300
Consensus	CGACAT	GGGAGGAT	TATG	TGAC	GCAC	ACAC	TATAT	TATCTAC	GCAC	ACAC	TATAT	TATCTAC	GCAC	ACAC
RF-002678 HPV16	1301	1310	1320	1330	1340	1350	1360	1370	1380	1390	1400	1410	1420	1430
Consensus	CTCTCC	GCAGGAGGAT	TATG	TGAC	GCAC	ACAC	TATAT	TATCTAC	GCAC	ACAC	TATAT	TATCTAC	GCAC	ACAC
RF-002678 HPV16	1431	1440	1450	1460	1470	1480	1490	1500	1510	1520	1530	1540	1550	1560
Consensus	ATGAGGAT	AGGATGAT	CGGATGAT	TATG	TGAC	GCAC	ACAC	TATAT	TATCTAC	GCAC	ACAC	TATAT	TATCTAC	GCAC
RF-002678 HPV16	1561	1570	1580	1590	1600	1610	1620	1630	1640	1650	1660	1670	1680	1690
Consensus	CTCTAC	GCAGGAGGAT	TATG	TGAC	GCAC	ACAC	TATAT	TATCTAC	GCAC	ACAC	TATAT	TATCTAC	GCAC	ACAC

[illegible]

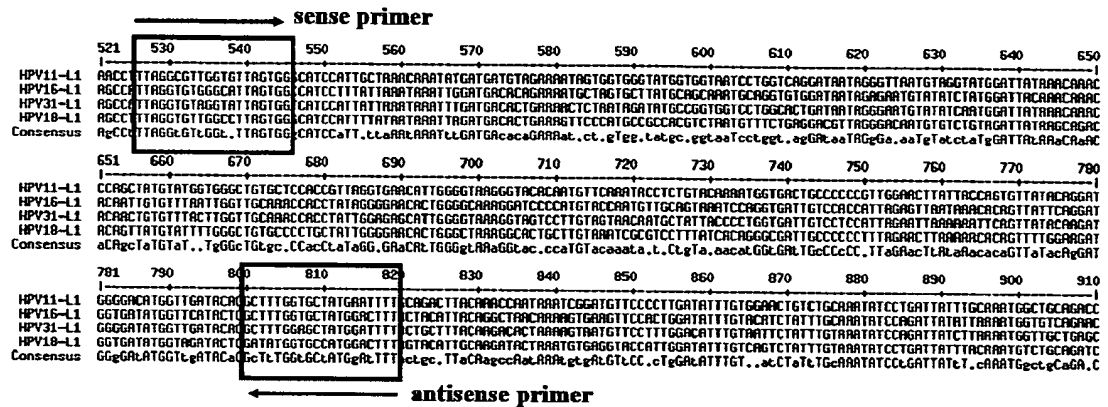
Fig. 4





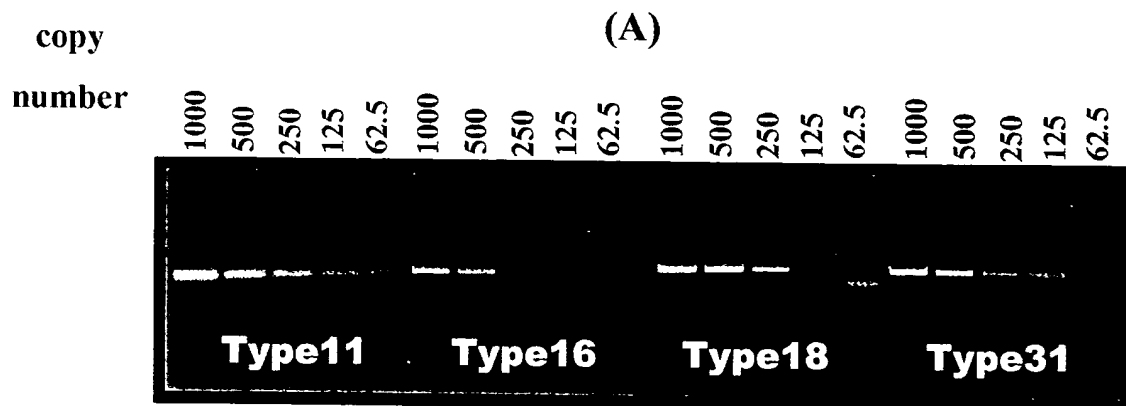
6/12

Fig. 6

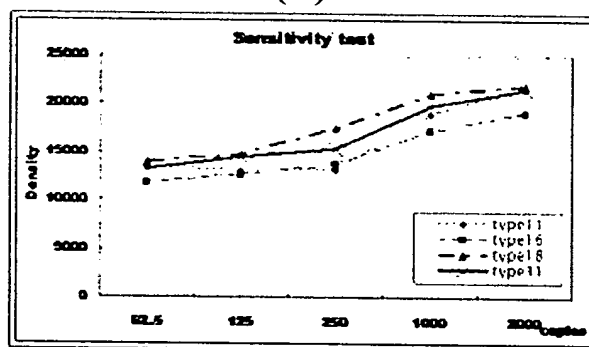


7/12

Fig. 7

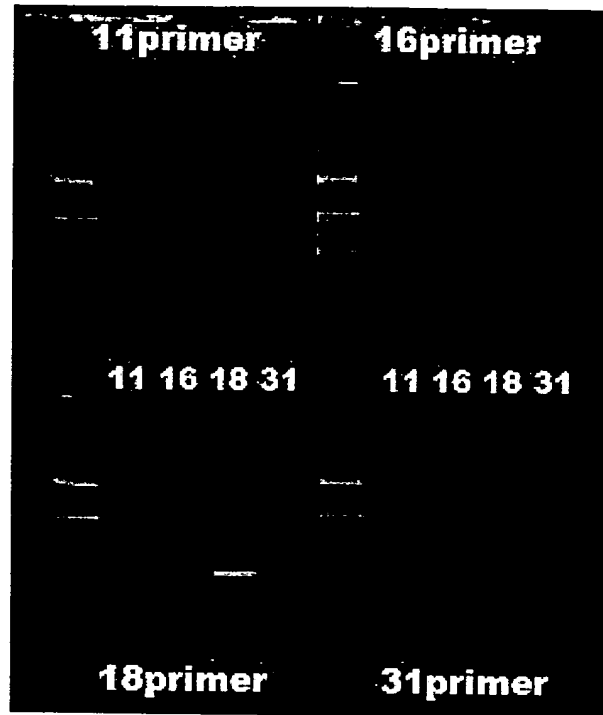


(B)



8/12

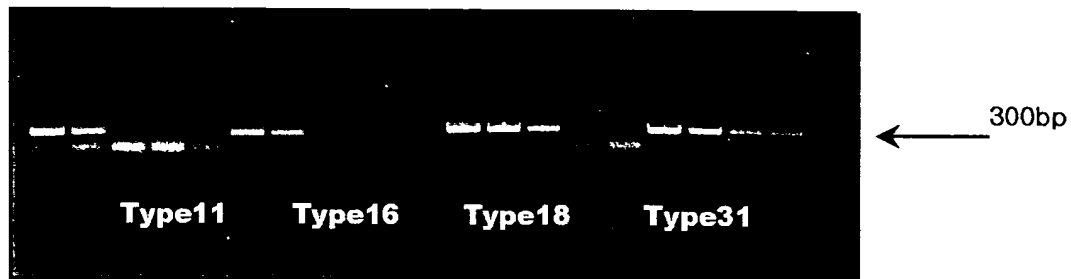
Fig. 8



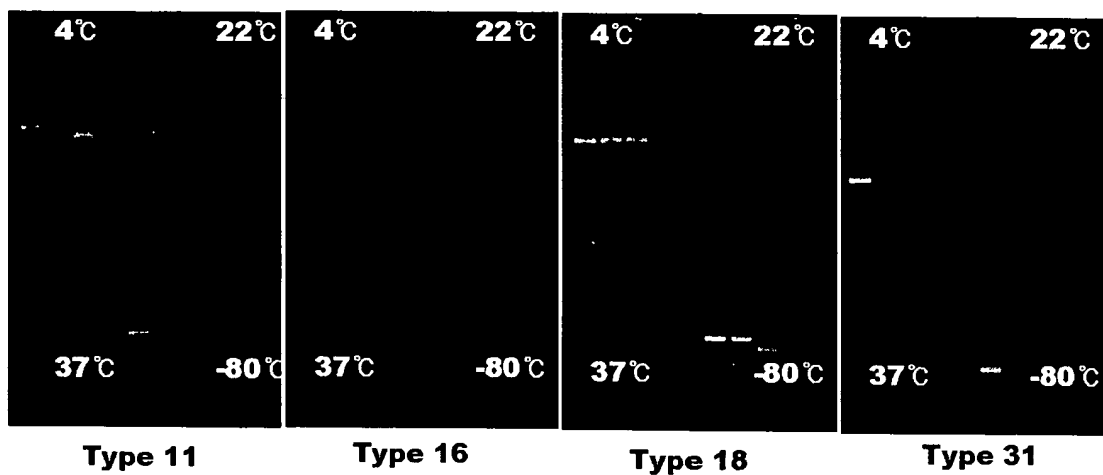
9/12

Fig. 9

a. Time point : 0 week

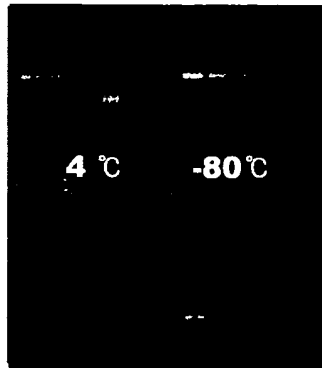


b. Time point : 3 week



10/12

Fig. 10



Type11 : 4 °C & -80 °C

$$Y=3.2082X + 7596.062$$

$$R=0.95$$

$$Y=4.219X + 8242.484$$

$$R=0.97$$

Type16 : 4 °C & -80 °C

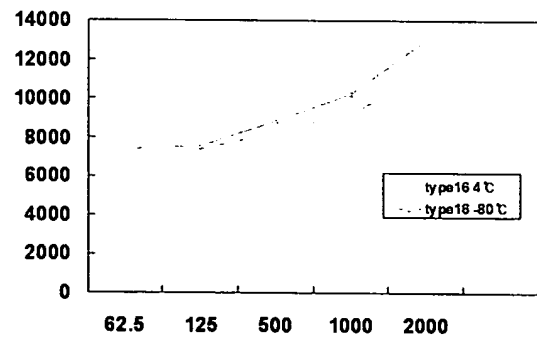
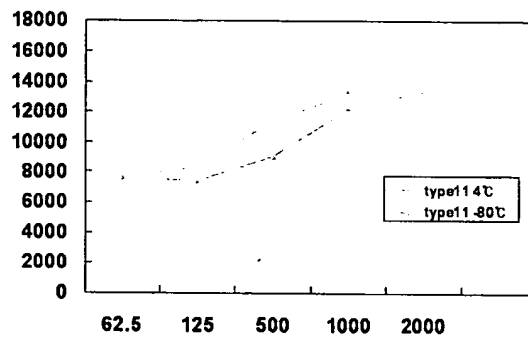
$$Y=1.888X + 7370.587$$

$$R=0.99$$

$$Y=2.926X + 7273.275$$

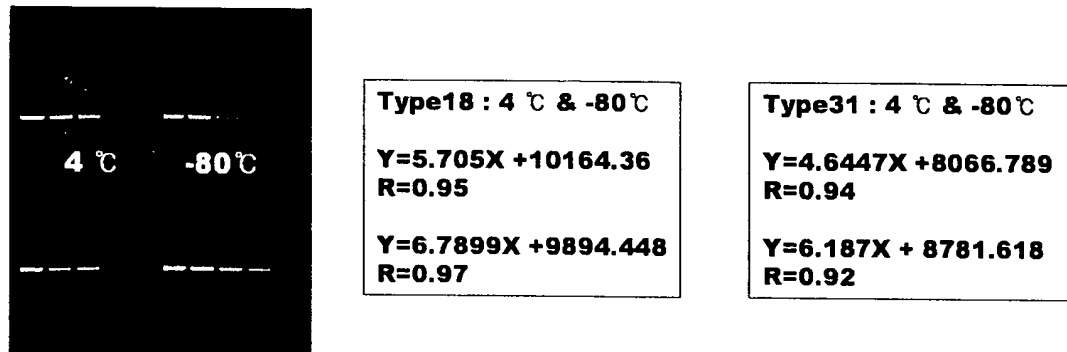
$$R=0.99$$

Type11 & Type16

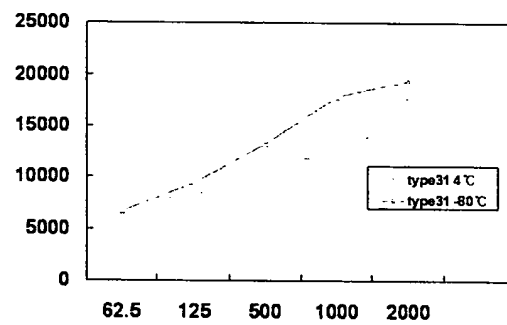
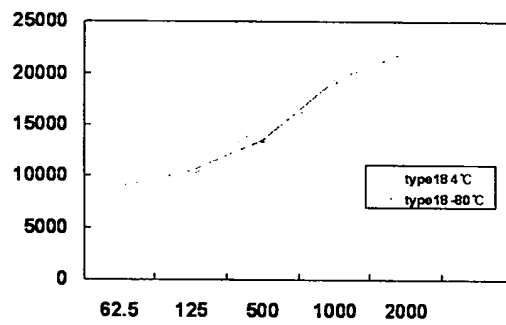


11/12

Fig. 11



Type18 & Type31



12/12

Fig. 12

